

John F. G. 10

B9 - VI 1748

1900

Mn F₂ (Tm)

Moissan^{H.} and Venturi

1. Compt. rend., 1900, 130, 1158.

size. 500.

ESTD 9. 11.

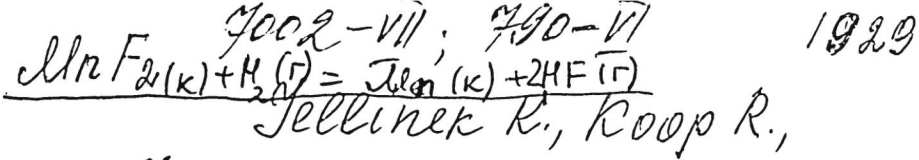
MnF₂

Yellinek K., OM 25241 1928
Rudat A.
Z. anorg. allg. Chem.,
175, 281

halogenate

liberates H₂.

(cu. PbF₂) I



Jellinek K., Koop R.,

Z. Phys. Chem., 1929, Abt A, 145,
Kp. 305-329. Über heterogene Gleich-
gewichte von Metallhalogeni-
den mit Wasserstoff bzw.

Chlorwasserstoff

Bsp - 7002 - VII

Bsp - 790 - VI

Memos nromona

MnF_2

Bsp - 1749-VI

1942

Stoltet F.W.; Adams R.E.
2/5 KE

(S_0, C_p)

J. Amer. Chem. Soc.

1942, 64, 1535-38

$C_{p_{798}} = 16.202$ Magnetism II. III залежністю

$S_{798} > 22.25$

$H_{298} - H_0 =$ no Pankratz 1984,

FCC, Stout 0.011: $C_{p_{798}} = 15.96$

$\rho = 22.04 \quad H_{x_{10}} - H_0 = 3106 \text{ kJ/mol}$

М.П.Га

V-1338

см. в

1948

Яцимирский К.Б.

Известия Акад.Наук СССР.Отдел
Хим.Наук 1948, 590-598
Энергия решетки ..

M, W

9466

V 1338

Hf(HgF₂, CuF₂, ZnF₂, NiF₂, CoF₂, CdF₂, FeF₂,
MnF₂, Cu(CNS)₂, Zn(CNS)₂, Ni(CNS)₂, Co(CNS)₂,
Cd(CNS)₂, Fe(CNS)₂, Mn(CNS)₂, Cu(CN)₂, Ni(CN)₂,
Co(CN)₂, Fe(CN)₂, Mn(CN)₂, Pb(CN)₂, Hg(HCO₂)₂,
Cd(HCO₂), Fe(UCO₂)₂, Hg(OH)₂, Hg(NO₃)₂,
Zn(NO₃)₂, Cd(NO₃)₂, Fe(NO₃)₂, Co(HCO₂) (Hf, Haq)
Ni(HCO₂)₂ (Hf, Haq)

MnF_2 (T_m)Bp - \approx 1747

Griffel M., Stout J.W.

J. Am. Chem. Soc., 1950, 72, 4351-3

Preparation of single crystals of manganese fluoride. The crystal structure from x-ray diffraction. The melting point and density

ECTb. Ph. H.

C.A. 1951, 36786

BGP - 1747 - VI

1950

Mn F₂

Трифереев,
Griffel M., stout J.W.
(Университет Риверсау)

JACB, 1950, 72, N10, 4351 - 53

Перевод
СВ-Би

Приготовление крист. Mn F₂,
Кристал. структура, тонка
Изделие и методы

Зарядка
обороне

$t_{m,n}^{\circ} = 929,5 \pm 0,5^{\circ}\text{C}$
(Myacan Dabas 856°C), Chichape 930 ± 5°C (1991r.)

Preparation of single crystals of MnF_2 .
The crystal structure from X-ray
diffraction. The melting point and
density.

1955

VI-1750

MnF₂, MnF₂·4H₂O, (ΔНаг)

MnF₂·4H₂O(D)

Рысс И.Г., Витухновская Б.С.

Ж. общ. химии, 1955, 25, №4, 643-47.

О гидратности и растворимости фтористого марганца.

Est/F.

RX, 1956, N4, 9330 w,

VI 6871

1955

MnF₂, MnO₂, V₂O₃, VCl₂, Cr₂O₃, NiCr - gp
NiF₂, NiSi, NiCu - gp. (Te, Huag., Suag.)

Tauer K.J., Weiss R.J.,

Phys. Rev., 1955, 100, n4, 1223-1224

5

caus op. K.

On 32773

1955

V. 761

ZnF₂ (Cp, S^o, 293, 16, H^O₁-H^O₂, Ttr)

(MnF₂, FeF₂, CoF₂, NiF₂ (Cp, S, Ttr))

Stout J.W., Catalano E.

J. Chem. Phys., 1955, 23, 11, 2013-2022

Heat capacity of zinc fluoride
from 11 to 300°K. Thermodynamics functions
of zinc fluoride. Entropy and capacity
associated with the antiferromagnetic
ordering of manganese fluoride
ferrous fluoride, cobaltous fluoride
and nickelous fluoride

PX. 1957, 76561

Б

ЕСТЬ Ф. И.

V 6732

1960

B_2O_3 , $BAsO_4$ (T_{tr}); MnF_2 , BeF_2 , LiO_2 ,
 PbO , Sb_2O_3 (T_{tr})

Dachille F., Roy R.

Nature, 1960, 181, 4718, 34, 71

T

MnF_2

Strong S.L.

1961

J. Phys. and Chem. Solids,
19, N1-2, 51

Исследование кристаллического состояния породы MnO_2 и MnF_2 , при их нагревании в вакууме и в водяном паре.



(Cll. MnO_2) I.

BOP-1973 - VI

1962

37789 THE LOW TEMPERATURE HEAT CAPACITIES
OF ANTIFERROMAGNETIC MnF_2 AND CoF_2 . Edward
Catalano and Norman E. Phillips (Univ. of California,
Livermore and Berkeley). J. Phys. Soc. Japan, 17: Suppl.
B-I, 527-9(Mar. 1962).

MnF_2

CoF_2

$C_v < 4.2^\circ\text{K}$

The heat capacities of MnF_2 and CoF_2 were measured in the temperature range $1-4.2^\circ\text{K}$. The data were analyzed by plotting CT^2 vs T^5 to separate the lattice and hyperfine contributions to the heat capacity from the magnetic contribution. The magnetic heat capacity for MnF_2 is compared with the heat capacity expected from spin waves modified by anisotropy. No apparent magnetic contribution to the heat capacity was found for CoF_2 in this temperature region. This is consistent with a high anisotropy field for this compound. (auth)

het na meer

g spreken?

NSA-1963-17-23

(See. van CoF_2) I

1973-VI

1962

MnF₂, CoF₂ (Cp)

Catalano E., Phillips N.E.

J.Phys.Soc. Japan, 1962, 17, Suppl. B-1, 527-2
-29.

The low temperature heat capacities of antiferromagnetic MnF₂ and CoF₂.

PF, 1963, 5E367

Be.

Есть оригинал.

1962

Bp-VI-2005

MnF₂, MnO(Cp, Ttr)

Fisher M.E.

Philos. Mag., 1962, 7, N82, 1731-43

Relation between the specific heat and
susceptibility of an antiferromagnet.

Est/orig.

RF, 1963, 5E570

Be

1962

MnF₂

Magnetic specific heat of MnF₂ at low temperatures. Ojiro Nagai (Univ. Osaka). *Progr. Theoret. Phys. (Kyoto)* 27, 1282-4(1962). A theoretical explanation of the results of Catalano and Phillips (*CA* 57, 15896f) is presented.

Clarence J. Wolf

Cp

C.A. 1963-58-6

5103de

$MnF_2(r)$

annex 1721

1963

δH_f°

δH_g°

δZ

L.Brewer, G.R.Somayajulu et al

J. Chem. Rev., 1963, 63, III

"Thermodynamic properties..."

Вср - 1964 - VI

1963

MnF₂

4 Б389. Определение давления сублимации фторида двухвалентного марганца методом Ленгмюра. Vasista Renato G., Margrave John L. A Langmuir measurement of the sublimation pressure of manganese (II) fluoride. «J. Phys. Chem.», 1963, 67, № 7, 1564—1565 (англ.)

Методом Ленгмюра с использованием ранее описанной аппаратуры (РЖХим, 1961, 14Б377) определено давление сублимации MnF₂ (I) в интервале 887—983° К. Термодинамика сублимации ΔH_{298} , вычисленная по 3-му закону с использованием функций свободной энергии, рекомендованных Брюэром, равна $76,4 \pm 1$ ккал/моль. Расчет ΔH_{298} (I) по 2-му закону приводит к значению $76,0 \pm 1,0$ ккал/моль. Энергия атомизации I (газ) вычислена равной 217 ккал/моль, что приводит к $D(\text{Mn}-\text{F}) = 108,5$ ккал.

Л. Резницкий

У. 1964. Ч

1963

Bcp-1944-VI

MnF₂ ΔH°_{298}

A Langmuir measurement of the sublimation pressure of manganese(II) fluoride. Renato G. Bautista and John L. Margrave (Univ. of Wisconsin, Madison). *J. Phys. Chem.* 67, 1564-5 (1963). A 3rd-law calcn. using exptl. vapor pressures of MnF₂ yields a heat of sublimation $\Delta H^\circ_{298} = 76.40 \pm 0.5$ kcal./mole. A 2nd-law method with certain corrections gives 76.0 ± 1.0 kcal./mole.

Richard L. Every

C.A. 1963.59.6
57868 -

VI 6647

1963

Zn F₂, Mn F₂ (T_{tr})

Кабанкина С.С., Топова С.В.,

Dokl. AH SSSR, 1963, 153, 1310-1315

T

MnF_2

мерее.
расшир.

Rao K. V. Krishna,

Naidu S. V. Nagender.

1963

Proc. Indian Acad. Sci.,
A 58, N5, 296.

Рентгеновское изучение теплового расширения
фторидов Zn , Aln и Co .
(см. ZnF_2) I

MnF₂

1964

Mass-spectrometric studies at high temperatures. V. The sublimation pressure of manganese(II) fluoride and the dissociation energy of manganese(I) fluoride. R. A. Kent, T. C. Ehlert, and J. L. Margrave (Rice Univ., Houston, Tex.). *J. Am. Chem. Soc.* 86(23), 5090-3(1964)(Eng); cf. *CA* 61, 12666b. Mass-spectrometric studies of MnF₂ sublimation and evapn. from a Knudsen cell established MnF₂(g) as the major vapor species and ΔH°_{298} [sublimation] = 76.1 ± 2.0 kcal./mole. When Mn(s) is heated with MnF₂(s), the lower fluoride, MnF, is produced. From equil. measurements, it has been possible to establish the dissoci. energy of MnF(g) as $D^{\circ}_{298} = 4.39 \pm 0.15$ ev. (101.2 ± 3.5 kcal./mole).

P
SKB

BQ - 1128-VII

C.A. 1965-623

2261ef

1964

MnF₂MnF ΔH°_{298}

2° 298

1) 9 Б83. Масс-спектрометрическое исследование при высоких температурах. V. Давление сублимации фторида двухвалентного марганца и энергии диссоциации фторида одновалентного марганца. Kent R. A., Ehler T. C., Margrave J. L. Mass spectrometric studies at high temperatures. V. The sublimation pressure of manganese (II) fluoride and the dissociation energy of manganese (I) fluoride. «J. Amer. Chem. Soc.», 1964, 86, № 23, 5090—5093 (англ.)

Масс-спектрометрическим исследованием сублимации и испарения MnF₂ установлено методом Кнудсена, что MnF₂ (газ.) является основным в-вом пара; ΔH°_{298} (сублимации) = $76,1 \pm 2,0$ ккал/моль. При нагревании MnF₂ (тв.) с MnF₂ (тв.) образуется MnF. Из измерений равновесия установлена энергия диссоциации MnF (газ.), равная $D^\circ_{298} = 4,39 \pm 0,15$ эв ($101,2 \pm 3,5$ ккал/моль). Сообщ. IV РЖХим, 1965, 16Б427.

Резюме автора

+1 (III)

x. 1967. 9

Mn F₂.

Thomas E. Ahert, 1964
Richard Kent u gp.

5TT, N 7, esp. 92.

P
vapor pressure from mass . . .

VI-1948

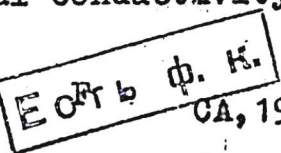
1965

MnF₂ (^aH_{soln})
 { LiF)

Benveniste M., Laredo E., Berge P.,
Tournarie M.,

J.Phys.(Paris), 1965, 26(4), 189-93.

Dissolution of magnesium-fluoride in
lithium fluoride, by X-ray diffraction and
by electrical conductivity.

Be, 
EOTB PH. K.
CA, 1965, 63, N12, 15644e

MnF₂

BP - 1948 - VI

1965

Benveniste Al.

A H Søln

J. Phys. (Paris)

1965, 26 (4), 189-93

1965

A-538

Ti, Cr, Mn, V, Fe, Co,
VF, TiF_2 , VT_2 , TiF_2 , $\underline{\text{MnF}_2}$, MnF_3 ,
 FeF , FeF_2 , FeF_3 , CoF_3 (ΔHf)

Cavell R.G., Clark H.C.

J.Chem.Soc., 1965, (Jan.), 444-48.

Est/orig.

CA., 1965, 62, N12, 13937h M, Be

VIII-11/69

1965

MnF₂

Tc

12 Б661. Фазовый переход в MnF₂ при высоком давлении. Верещагин Л. Ф., Кабалкина С. С., Котилевец А. А. «Ж. эксперим. и теор. физ.», 1965, 49, № 6, 1728—1732 (рез. англ.)

Проведено рентгенографич. исследование влияния высокого давл. до 80 кбар на структуру MnF₂. Установлено, что при $p > 20$ —30 кбар исходная фаза MnF₂ со структурой рутила испытывает обратимый фазовый переход. Предположено, что фаза высокого давл. MnF₂ имеет искаженную структуру типа CaF₂, близкую к структуре тетрагон. модификации ZrO₂. Показано, что после снятия давл. из фазы, стабильной при высоком давл., образуется метастабильная фаза со структурой типа α -PbO₂; последняя не является, т. о., фазой высокого давл., как это предполагалось ранее (РЖХим, 1962, 5B342).

Резюме авторов

X. 1966.

12

Eul, MnF₂ (g)

~~TK115~~ KEM! 1965

Peaney D.T.

NBS (S.S.), Misc. Publ. No. ND-3, 50-7
1965

Specific heats of ferro- and anti-
ferromagnets in the critical region.

KEM!

5 (φ)

CA 1964 66 W16 694785

MnF₂

B9 - 1112 - VII

1965

18 Б503. Сингулярность теплоемкости MnF₂. Т е а -
п е у D a l e T. Specific-heat singularity in MnF₂. «Phys.
Rev. Letters», 1965, 14, № 22, 898—900 (англ.)

Cp

Изучено т-рное поведение магнитной теплоемкости антиферромагнитного монокристаллич. MnF₂ в области т-р $|1-T/T| \sim 10^{-1}-10^{-4}$ ° К. Эксперим. результаты хорошо описываются ф-лом $C_{\pm}/R = A_{\pm} \lg |\Delta T/T_N| + B_{\pm}$ с $A_- = 1,15$; $A_+ = 0,6$; $B_- = 0,82$; $B_+ = 0,14$, что весьма близко к результатам измерений др. авторов на Аг. Исследовались два монокристалла, T_N для к-рых оказались несколько разными: $67,33 \pm 0,01$ ° и $67,23 \pm 0,02$ ° К. Эксперим. данные поступали непосредственно на перфокарты ЭВМ, к-рая после минуты счета выдавала обработанные значения теплоемкости.

В. Ожогин

РЖХ, 1966,

1965

Bsp - III2 - VII

MnF

2

2 E470. Сингулярность теплоемкости MnF_2 . Тезисы Дейла Т. Specific-heat singularity in MnF_2 . «Phys. Rev. Letters», 1965, 14, № 22, 898—900 (англ.)

Изучена температурная зависимость магн. теплоемкости антиферромагн. монокристаллич. MnF_2 в области т-р $|1-T/T_N| \sim 10^{-1}-10^{-4}$ К. Эксперим. результаты хорошо описываются ф-лом: $C_{\pm}/R = A_{\pm} \lg_{10} |\Delta T/T_N| + B_{\pm}$ с $A_- = 1,15$; $A_+ = 0,6$; $B_- = 0,82$; $B_+ = 0,14$, что весьма близко к результатам измерений других авторов на Ag (РЖФиз, 1963, 2E50). Исследовалась два очень качеств. монокристалла, т-ры Неэля T_N которых оказались несколько разными: $67,33 \pm 0,01$ К и $67,23 \pm 0,02$ К. Эксперим. данные поступали непосредственно на перфокарты электронной вычислительной машины, которая выдавала обработанные значения теплоемкости.

B. Ожогин

ф. 1966 • 28

Gd, U₃O₈, Dy, NiCl₂, FeCl₂, PbF₂) NBS
CoCl₂·H₂O, Sm, MnF₂, NiF₂, Cr₂O₃, β-UH₃(C_P)
обзор. VI 4856

Yamamoto T., Tanimoto O., Yasuda Y.,
Okada K.

NBS (US), Misc. Publ. No 273, 86-91, 1965

5 (9)

15

1966
VI-4530

MgF₂, CaF₂, SrF₂, BaF₂, SeF₃, VF₂,
VF₃, CrF₂, MnF₂, FeF₂, CoF₂, NiF₂,
CuF₂, YF₃, CdF₂, LaF₃, CeF₃, DyF₃, HoF₃, ErF₃
(p, Hs, Hartwig, Cragg-Herwig et al.)

Kent R.A., Zmbov K., McDonald J.D.,
Besenbruch G., Ehlert T.C., Bantsista R.G.,
Kanaan A.S., Margrave J.L.

Proc. Conf. Nucl. Appl. Nonfissionable Ceram,
Washington, D.C., 1966, 249-55. Sublimation pressures of refractory fluorides.

M, keuFb - 5-ke CA, 1967, 66, N20, 88859h

1964

Yd., Ni, Mn₃I₂, MnO, MnTe(Cp) VII 3966

Ganubhai R.D., Vaidya S.N., Gopal B.

J. Indian Inst. Sci., 1964, 49 (2),
48 - 60

5 CP

Ca 1968

A 857

1964

F_2F_2 (Tm, Tb, Hv, Kp, D)
 PbF_4 , AlF_3 , AgF , AgF_2 , COF_2 , COF_3 , MnF_2 , MnF_3 , NbF_5 ,
 NF_6 , BeF_2 , $\text{NaF}(\text{Hf})$

Robin J.
Chim. Mod., 1967, 12(76), 27-30, 33-4, 37-44

Fluorine

CA, 1967, 66, N 26, 121567m

J., Be.M.

new 6 δ-ke

V 6143

1964

Mn⁺, MnF₂⁺, MnF²⁺; Ga⁺, GaF⁺, GaF₂⁺, GaBF⁺

(A.P.)

GaBF⁺ (ΔH_f , ΔH_{molar})

Zubov K.F., illargrave J.V.,

J. Tuorg and Nuel. Chem., 1967, 29, 10,

2649-2650

Prak, 1968, 18595



ll, 10

TaF₅, MnF₃, MnF₂, TaOF₃, 7 1968.
VII 2577

(DH)
(TaF₅, TaOF₃ (Shagnum))

Zubov K.F., Margrave J.L.

J. Phys. Chem., 1968, 72 (4), 1099-1101.

Mass spectrometric studies of high

M

B92-6397-VII

1969

MnF₂

Ttr

Austin A. S.

N Mus. and Chee.
Solids, 30, NS, 1282-85

Thelphusifer quadrangularis
gob reflexosus ventralis
gob sp. biconcave
gob sp. .

(See CrF₂) T.

Б9- VI-6963

1964

МнF₂
2
(Cp)

8 E694. Спин-волновой вклад в теплоемкость MnF₂, FeF₂ CoF₂ и NiF₂. Begum N. A., Cracknell A. P., Joshua S. J., Reissland J. A. The spin-wave contribution to the specific heat of MnF₂, FeF₂, CoF₂ and NiF₂. «J. Phys. (Proc. Phys. Soc.)», 1969, C 2, № 12, 2329—2334 (англ.)

Спин-волновой вклад в теплоемкость антиферромагнитных фторидов Mn, Fe, Co и Ni в области т-р 0—50° К (для CoF₂ в области т-р 0—35° К) рассчитывается двумя разными методами. Используются экспериментально определенные дисперсионные соотношения для спиновых волн. Теплоемкость определяется как производная по т-ре от интегр. энергии газа спиновых волн. В случае NiF₂ используются значения трех обменных параметров и константы магн. кристаллич. анизотропии, полученные из данных по рамановскому рассеянию света на

+3

9. 1970. 88



спиновых волнах, а для FeF_2 по неупругому рассеянию нейтронов, причем константа одиононной анизотропии доминирует (реф. 8Е1116). Используются рассчитанные значения энергий магнонов в разных точках зоны Бриллюэна. Рассчитанные значения теплоемкости сравниваются с экспериментальными, полученными при $T > 15^\circ \text{K}$. Рассчитанные значения существенно меньше экспериментальных. Малая часть этой разницы связана с неучетом оптич. ветви магнонов. Основное различие, по мнению авторов статьи, связано с тем, что эксперим. значения получены путем выделения спиновой теплоемкости из полной вычитанием теплоемкости изоморфного немагн. ZnF_2 .

А. И. Мицек

MnF₂; CoF₂; FeF₂; NiF₂(Cp) 67 1969

Begum N.A.; Cracknell A.P.; Joshua S.J.; Reissland J.A. (VI 6963)

Proc. Phys. Soc., London (Solid State Phys.) 1969, 2 (12), 2329-34.

Spin-wave contribution to the specific heat of manganese fluoride, iron(II) fluoride, cobalt

S. 8 ⑨ fluoride, and nickel fluoride.
CA, 1970, 72, N8, 36047w

MnF₂ (T Neel) 7 VII 6319 1969

Deniz K.U., Parette G., Farnoux B,
Proc. Nucl. Phys. Solid State Phys.
Symp., 14th, 1969 (Pub. 1970), 3,
498-502 (arxiv.)

Critical magnetic scattering of
neutrons from manganese difluo-

ride.

56 ⑩ CA, 1971, 45, N2D, 122124n

~~Sn~~ | P, ~~SH₃, T₂₇~~, MnF₂ (~~ΔH_f~~) 1969
~~MnF (D₂)~~ 7

VII 4275

Ehler T.

J. J. Hoag, and Nuel. Chem., 1969, 31, NS,
2765-2770 (caen.)

A mass spectrometric study of the
sublimation of manganese.

Pikkarinen, 1970

ZG 907 EC

H₂

7 5 (P)

ВФ - 4277-VII

1969

MnF₂

7 Б904. Измерения давления пара фторида двухвалентного марганца методом Кнудсена. Hitchingham W. C., Капа'ан A. S. Knudsen measurements of the vapor pressure of manganese (II) fluoride. «High Temperat. Sci.», 1969, 1, № 2, 216—221 (англ.)

Эффузионным методом Кнудсена измерено давление пара MnF₂ в интервале т-р 1130—1270° К. Полученные результаты отвечают ур-нию $\lg P(\text{атм}) = (8,067 \pm 0,5) - [(1,524 \pm 0,03) \cdot 10^4] / T$. Из ур-ния получены энталпия и энтропия парообразования $\text{MnF}_2: \Delta H_{1165}^\circ = 69,75 \pm 1,5 \text{ ккал/моль}$ и $\Delta S_{1165}^\circ = 36,9 \pm 2,2 \text{ э. е.}$ На основании полученных данных по парообразованию и имеющихся данных по сублимации вычислены энталпия и энтропия плавления $\text{MnF}_2: \Delta H^\circ(\text{пл.}, 1129) = 3,25 \pm 2,0 \text{ ккал/моль}$ и $\Delta S(\text{пл.}, 1129) = 2,9 \pm 1,8 \text{ э. е.}$

Резюме

P

ΔH_U

ΔH_m

X · 1970 · 7

MnF

2

B9-4277-VII

1969

59385u Knudsen measurements of the vapor pressure of manganese (II) fluoride. Hitchingham, W. C.; Kana'an, A. S. (Western Michigan Univ., Kalamazoo, Mich.). *High Temp. Sci.* 1969, 1(2), 216-21 (Eng). The vapor pressure of manganese difluoride has been measured by the Knudsen effusion method at 1130-1270°K. The results are expressed by log $P_{(\text{atm})} 8.067 - 1.52 \times 10^4 T = 8.067 - (1.524 \pm 0.03)10^4 / T$. The enthalpy and entropy of vaporization derived from the 2nd law least-sqs. analyses are: $\Delta H^\circ_{1165}(\text{MnF}_2, 1) = 69.75 \pm 1.5$ kcal mole⁻¹; $\Delta S^\circ_{1165}(\text{MnF}_2, 1) = 36.9$ entropy units. From the present vaporization data and the available data for sublimation, the enthalpy and entropy of fusion are calcd. to be: $\Delta H^\circ_{\text{m}(1120)} = 3.25$ kcal mole⁻¹; $\Delta S^\circ_{\text{m}(1120)} = 2.9$ entropy units.

RCFT

P
 ΔH_v ΔS_v

ΔH_m ΔS_m

C.A. 1970.

72.12

MnF₂

1969

(P. A.)

122124n) Critical magnetic scattering of neutrons from manganese difluoride. Deniz, K. Usha; Parette, G.; Farnoux, B. (Bhabha At. Res. Cent., Trombay, India). *Proc. Nucl. Phys. Solid State Phys. Symp.*, 14th 1969 (Pub. 1970), 3, 498-502 (Eng). Phys. Comm., Dep. At. Energy: Bombay, India. The behavior of longitudinal and transverse components of the magnetic susceptibility of MnF₂, an antiferromagnet with body centered tetragonal structure, is investigated near the Neel point ($T_N = 67.332^\circ\text{K}$) by a study of neutron magnetic diffraction around the reciprocal lattice points (100) and (001). The scattered intensity, measured as a function of T , using 2 incident neutron wavelengths, 4.34 and 2.65 Å is explained very well by

the Ornstein-Zernike theory for all $T \geq T_N$. The breakdown of this theory for $T - T_N \leq 0.05^\circ\text{K}$ is explained. C. A. Goethals

C. A. 1971. 7.5. 20

VI - 6416

1969

MnF₂

10 Е354. Фазовые переходы в MnF₂, CoF₂, NiF₂ и ZnF₂ при высоком давлении (до 160 кбар). Кабалкина С. С., Верещагин Л. Ф., Литягина Л. М. «Физ. твердого тела», 1969, 11, № 4, 1040—1042

Проведено рентгенографич. исследование MnF₂, CoF₂, NiF₂ и ZnF₂ при комнатной т-ре и высоком (до 160 кбар) давлении. Установлено, что искаженная флюоритовая фаза MnF₂ II, обнаруженная в работе (РЖФиз, 1966, 5Е200), устойчива при комнатной т-ре (до 150 кбар). Предполагается, что фаза MnF₂ II изоструктурна с ромбич. модификацией ZrO₂. При $p=150$ кбар обнаружен новый полиморфный переход $\text{MnF}_2 \text{ II} \rightleftharpoons \text{MnF}_2 \text{ III}$. Фаза высокого давления MnF₂ III имеет решетку типа PbCl₂.

P
tr

9. 1969.

108



+3

XI

Чрезвычайно затянутый фазовый переход первого рода при $p > 100$ кбар наблюдался в CoF_2 , NiF_2 и ZnF_2 . При давлении 130—150 кбар эти соединения дают практически идентичные рентгенограммы, которые соответствуют смеси 2 фаз (фазы низкого давления со структурой рутила (CoF_2 I, NiF_2 I, ZnF_2 I) и фазы высокого давления с искаженной структурой типа флюорита (CoF_2 II, NiF_2 II, ZnF_2 II)).

Автореферат

VI-6416

1969

MnF₂

23 Б874. Фазовые переходы в MnF₂, CoF₂, NiF₂ и ZnF₂ при высоком давлении (до 160 кбар). Каоалкина С. С., Верещагин Л. Ф., Литягина Л. М. «Физ. твердого тела», 1969, 11, № 4, 1040—1042

Проведено рентгенографич. исследование MnF₂, CoF₂, NiF₂ и ZnF₂ при коми. т-ре и давл. до 160 кбар. Фаза высокого давл. MnF₂-II, полученная при 33 ± 4 кбар, сохраняется до 140—150 кбар. Далее происходит фазовый переход с образованием ромбич. фазы, имеющей параметры $a = 3,25$; $b = 5,54$; $c = 6,88$ Å; $Z = 4$; $\rho_{\text{рент.}} = 4,98$; ф. гр. Pmn_b. В соединениях CoF₂, NiF₂ и ZnF₂ при $p > 100$ кбар наблюдается затянутый фазовый переход первого рода.

Д. А.

X · 1969 · 23



MnF₂

43104v Polymorphism of manganese difluoride at high pressures and temperatures. Kabalkina, S. S.; Vereshchagin, 1969

L. F.; Lityagina, L. M. (Inst. Fiz. Vys. Davlenii, Moscow, USSR). *Zh. Eksp. Teor. Fiz.* 1969, 56(5), 1497-503 (Russ).

An x-ray diffraction study of polymorphic transformations of MnF₂ at 20-400° and at pressures up to 80 kilobars confirmed the existence of the earlier established 4 modifications of MnF₂, and showed the existence of a 5th cubic fluorite modification of MnF₂ with $a = 5.192 \pm 0.006$ Å., which is formed at 400° and 40 kilobars. The phase diagram constructed on the basis of the exptl. data shows that at >210° and increasing pressures 2 phase transformations occur: rutile → fluorite with a vol. discontinuity of ~7% at 25-30 kilobars and fluorite → distorted fluorite at higher pressures. At <210° only the rutile → distorted fluorite transformation with a vol. discontinuity of ~11.4% occurs.

GPJR

C.A. 1969 · 71 · 10

1969

VII-34/53

MnF₂

11 Е363. Полиморфизм MnF₂ при высоком давлении и высокой температуре. Кабалкина С. С., Вещагин Л. Ф., Литягина Л. М. «Ж. эксперим. и теор. физ.», 1969, 56, № 5, 1497—1503 (рез. англ.)

Tc

Рентгенографическим методом исследован полиморфизм MnF₂ при давлении до ~80 кбар в интервале т-р 25—~400°. Построена фазовая диаграмма MnF₂, согласно которой при $T > 210^\circ\text{C}$ с возрастанием давления наблюдаются два фазовых превращения: рутил \rightarrow флюорит со скачком объема ~7%, а при более высоком давлении — флюорит \div искаженный флюорит. При $T < 210^\circ\text{C}$ осуществляется один фазовый переход рутил \rightarrow искаженный флюорит со скачком объема ~11,4%.

Резюме

ago. 1969. 11

MnF₂

VII-5338

1971

32172v Magnetic birefringence in antiferromagnetic manganese fluoride. Borovik-Romanov, A. S.; Kreines, N. M.; Talalaev, M. A. (Inst. Fiz. Probl., Moscow, USSR). Pis'ma Zh. Eksp. Teor. Fiz. 1971, 13(2), 80-5 (Russ). Magnetic birefringence was obsd. and studied in antiferromagnetic MnF₂. MnF₂ is a well-studied tetragonal antiferromagnet with Neel temp., $T_N = 66.9^\circ\text{K}$. The sublattice magnetization of it is

T
Neel

C.A. 1971 84-24

directed along the 4th-order axis (the z axis). The expt. was performed at $\lambda = 6328 \text{ \AA}$, a distance away from the absorption bands in this substance. Linearly polarized light with the wave vector k from a He-Ne laser fell onto the crystal along the x axis. The light polarization vector was directed at an angle of 45° toward the z axis in the yz plane. The measurements, using a Berek compensator, were made at $1.5\text{--}300^\circ\text{K}$. At $300\text{--}100^\circ\text{K}$, the difference between the indexes of refraction (Δn) of the ordinary and extraordinary rays varies insignificantly, whereas near T_N it starts to change sharply. Δn in MnF_3 is 1 or 2 orders of magnitude higher than in substances contg. only magnetic ions of the Fe group. This anomalous behavior of Δn is, of course, assocd. with the emergence of antiferromagnetic ordering in the crystal. However, the reason for such behavior can be both the direct magnetic birefringence and the Δn assocd. with the spontaneous striction emerging in crystals during magnetic ordering. An attempt was made to resolve this question, with the use of pertinent available literature data.

S. A. Mersol

MnF_2

1971

Caiola A., Guy H., Sohm J.C.

(S
H-H)

Entropie. 1971, 40, 2434.

Cu VF_3 ; 1

MnF₂

вр-5996-VII

1971

21 Б890. Некоторые физико-химические свойства дифторидов и фторметаллатов (II) 3d-переходных элементов. Петров С. В., Ипполитов Е. Г., Сыриков П. П. «Изв. АН СССР. Сер. физ.», 1971, 35, № 6, 1255—1258.

Tm

Выращены монокристаллы MnF_2 , FeF_2 , CoF_2 , NiF_2 , MMnF_3 , где $\text{M}=\text{Na}, \text{K}, \text{Rb}$ и Cs , Cs_2MnF_4 , NaNiF_3 , BaMF_4 , где $\text{M}=\text{Mn}$, Co и Ni , SrNiF_4 , MCoF_3 , где $\text{M}=\text{Na}, \text{K}, \text{Rb}$, и MNiF_3 , где $\text{M}=\text{K}$ и Rb . Методом ДТА в атмосфере тщательно очищенного Ar определена т. пл. полученных монокристаллов. Определены также показатель преломления и рефракция нек-рых полученных монокристаллов. Полученные результаты сопоставлены с лит. данными.

И. С. Шаплыгин

X·1971·21



+3



MnF₂

10m. 19033

1471

Henderson A.J., Jr.,
Meyer H., et al.

Z. Phys. Chem. Solids

G; Pergamon Press 1971,
Vol. 32, pp. 1047-1058.

Printed in Great Britain.

MnF₂

890-5996-VII

1941

(Tm)

92088j > Physicochemical properties of difluorides and fluorometallates(II) of 3d transition elements. Petrov, S. V.; Ippolitov, E. G.; Syrnikov, P. P. (Inst. Fiz. Probl., Moscow, USSR). Izv. Akad. Nauk SSSR, Ser. Fiz. 1971, 35(6), 1256-8 (Russ). Melting points of fluorides of the 3d transition elements were detd. under conditions precluding pyrohydrolysis. DTA was used for the detns., done in pure Ar. The following were used: (1) MnF₂ single crystals, grown in HF by the Bridgman method; (2) FeF₂, CoF₂, and NiF₂ crystals sublimed in HF; (3) single crystals of NaMnF₃, KMnF₃, RbMnF₃, CsMnF₃, Cs₂MnF₄, NaNiF₃, KNiF₃, and RbNiF₃, grown by spontaneous crystn. from a soln. in the melt. In addn. to the m.ps., the lattice symmetry, the d., the structure type, and ns were detd.

S. A. Mersol

(+11)

C.A. 1941. 45. 14



MgF_2, MnF_2 (Tedesca) 79 VII 5779 1971.

Sirdeshmukh D.B., Rao M.J.N.

Phys. Status Solidi B 1971, 44(2), K105-K107 (a)

Debye temperatures and mean amplitudes of atomic vibrations in MgF_2 and MnF_2 .

59 © CA 1971, 25(2) 115625

DEFS, TBF, UFG, UFG, GFG, MFG, 1931
GFG (GFG) 7 8 15 ₹ 6380

Tanaka Hisashi, Yamaguchi Pref.,
Moriyama Jochi-cho.

J. Jap. Inst. Metall., 1931, 15, 112-115
Chalcogenide compounds of the transition metals
and their properties. Part I. Preparation of
nickel chalcogenides and their properties, by
Kondo, Tanaka, and Yamaguchi.

PLA No. 1932.

116329

MOP

MnF₂ 1971
Tm

132258c. Antiferromagnetic phase transitions by ultrasonic techniques. Shapira, Yaakov (Francis Bitter. Natl. Magnet Lab., Massachusetts Inst. Technol., Cambridge, Mass.). *J. Appl. Phys.* 1971, 42(4), 1588-94 (Eng). The usefulness of ultrasonic techniques in detg. the phase boundaries of antiferromagnets (in the *H-T* plane) is discussed. The various magnetic phase transitions which occur in antiferromagnets are described with particular emphasis on transitions in uniaxial antiferromagnets of the easy-axis type. The phase boundaries between the antiferromagnetic, spin-flop, and paramagnetic phases are discussed in the mol. field approxn. Some results of more sophisticated treatments are also included. The main ultrasonic phenomena which occur near the various phase transitions of uniaxial antiferromagnets are described. They are λ anomalies in the attenuation and velocity near the 2nd-order transitions, an attenuation spike (velocity dip) at the spin-flop transition, and an abrupt attenuation increase (velocity decrease) at the spin-flop transition. Examples of phase boundaries detd. ultrasonically in MnF₂, FeF₂, CoF₂, Cr₂O₃, α -Fe₂O₃, Cr, and EuTe are summarized.

RCJL

C.A. 1971. 44. 24

+6

X

MnF₂

1972

(1Hf⁰)

- 169507w Heats of formation and nature of interatomic interactions in the manganese-germanium system. Golutvin, Yu. M.; Maslennikova, E. G.; Korshunov, B. G. (Moscow, USSR). *Izv. Akad. Nauk SSSR, Metal.* 1972, (5), 117-22 (Russ). A calorimetric method is described for indirect fluorination of Mn and Ge by combustion with Teflon in stainless steel calorimetric bomb in an atm. of compressed O (30 atm). The heats of formation ($\Delta H_{\text{m}}^{\circ}$) of MnF₂ and GeF₄ are 192.8 ± 4.8 and 284.6 ± 5.4 kcal/mole, resp., agree with the literature. O. Sohnle

C.A. 1972, 77, N26



GeF₄

+1 □

MnF₂

1972

2 E1415. Рассеяние света на спиновых флуктуациях
в MnF₂. В гуа W. J., Bartkowski R. R., Ri-
chards Peter M. Light scattering from spin fluctua-
tions in MnF₂. «Magn. and Magn. Mater. 17th AIP An-
nu. Conf., Chicago, Ill., 1971. Part 1». New York, 1972,
339—343 (англ.)

(T_N)

Сост. Ильин А.Г.

Справка — 73-2

Изучалось магн. комбинационное рассеяние света в MnF_2 при т-рах 2—300° К. Особенность исследования заключается в том, что теоретич. и эксперим. результаты были получены для суммарной интенсивности рассеяния вблизи точки Нееля, а детали структуры линии изучались в парамагн. состоянии. Неупругое рассеяние при т-ре ниже т-ры Нееля ($T_N=67,7^\circ$) характеризовалось двухмагнитной линией вблизи 100 см^{-1} , но при т-рах выше T_N рассеяние характеризовалось симметричной линией вблизи нулевой частоты. Было предсказано, что интегр. интенсивность, включающая в себя как стоксовские, так и антистоксовские компоненты, уменьшается в 4,1 раза при переходе от т-р, лежащих выше T_N , к т-рам, лежащим ниже T_N . Эксперим. данные оказались в хорошем согласии с предсказанными. Для спектра рассеяния при т-ре 300° К $\langle\omega^2\rangle^{1/2}=27 \text{ см}^{-1}$, что хорошо согласуется с предсказанным значением $\langle\omega^2\rangle^{1/2}=23,7 \text{ см}^{-1}$.

Е. Е. Шалыгина

MnF₂, Ehler T.C., Hsia M. Om. XVII - 24/1972

MnF₃, J. Fluorine Chem., 1972, v. 2, pp. 33-52

MnF₄ Mass Spectrometric and Thermochemical

Mn_xF₅ Studies of the β Manganese Fluorides.
(C_p, 330-770K)

P(MnF₃) n.m. 765-930K

ΔH_f, ΔH_{arrn.}

MnF₂

11 Б1015. Условия образования и существования фазы MnF₂ со структурой α -PbO₂. Литягина Л. М., Кабалкина С. С., Верещагин Л. Ф. «Ж. эксперим. и теор. физ.», 1972, 62, № 2, 669—672 (рез. англ.) 1972

Рентгенографически установлено, что в MnF₂ с исходной структурой рутила при изотермич. снижении давления от 70 кбар до атмосферного наблюдаются структурные превращения: искаженный флюорит \rightarrow флюорит \rightarrow α -PbO₂ (при 300 и 400°) или искаженный флюорит \rightarrow α -PbO₂ (при 25°). При повторном воздействии давления на тот же самый образец переходы происходят в обратной последовательности: α -PbO₂ \rightarrow флюорит \rightarrow искаженный флюорит (при 300 и 400°) или α -PbO₂ \rightarrow искаженный флюорит (при 25°). Появление и существование фазы α -PbO₂ при этих условиях объясняется действием напряжений сдвига, возникающих в образце при снятии нагрузки и при повторном увеличении давления.

Резюме

X. 1972. 11

2 6 E501. Условия образования и существования фазы
 MnF_2 со структурой $\alpha\text{-PbO}_2$. Литягина Л. М., Ка-
балкина С. С., Верещагин Л. Ф. «Ж. эксперим.
и теор. физ.», 1972, 62, № 2, 669—672 (рез. англ.)

1972

Рентгенографически установлено, что в MnF_2 с исходной структурой футила при изотермич. снижении давления от 70 кбар до атмосферного наблюдаются структурные превращения: искаженный флюорит \rightarrow флюорит \rightarrow $\alpha\text{-PbO}_2$ (при 300 и 400°С) или искаженный флюорит \rightarrow $\alpha\text{-PbO}_2$ (при 25°С). При повторном воздействии давления на тот же самый образец переходы происходят в обратной последовательности: $\alpha\text{-PbO}_2 \rightarrow$ флюорит \rightarrow искажённый флюорит (при 300 и 400°С) или $\alpha\text{-PbO}_2 \rightarrow$ искажённый флюорит (при 25°С). Появление и существование фазы $\alpha\text{-PbO}_2$ при этих условиях объясняются действием напряжений сдвига, возникающих в образце при снятии нагрузки и при повторном увеличении давления.

спасибо

РЖФ, 1972, б6

1972

MnF₂

159263d Magnon specific heat and thermal conductivity of MnF₂. Stutius, W.; Dillinger, J. R. (Dep. Phys., Univ. Wisconsin, Madison, Wis.). *AIP (Amer. Inst. Phys.) Conf. Proc.* 1972, No. 5(Pt. 1), 650-4 (Eng).

The thermal cond. of single crystals of MnF₂ was measured at 0.4-4°K in magnetic fields up to 33 kOe with the crystallog. c-axis parallel to the magnetic field. No change in the therinal cond. was obsd. The sp. heat on the other hand measured between 1.4 and 5.5°K increases appreciably with magnetic field, and the exptl. results agree quant. well with calcns. based on spin-wave theory.

S. K. Mukherjee

Cp,

0.4 - 4K

C.A. 1972. 26. 26

MnF₂

1972

Skelton W.H.Jr.

Diss. Abstr. Int., BI972, 32(10), 5769.

AG.

(crys. CuF₃; I)

MnF₂ Krizan, John E. 1973
("Phys. Rev" B 1973, 8(11)
5153-5 (Eng)
(T_{tz}) Phase transitions and the
one third power law.
(an EuS; I)

C.A. 1974. 80. N16.

Mr Fz

(Dm. 21766)

1973

Skelton W. H., Patterson
J. W.,

J. Less-Common Illi-
tals, 1973, 31, N1,
44-60.

KP, SFH,
FDC

МнF₂

1973

Pezzysecka I. H.
и ГР.

16f

ed. "Meras Bee. Reg."
no klassifik. 1973.

Расческа. мефедр. горн"
Морозов

1973, 326-28

(см. Lat₃; 1)

MnF₂

Bp - 8351-X

1974

Hirakawa K.

(T±ε)

J. Crystallogr. Soc. Jap.,
1973, 15 N^o 1, 103-104

1974

MnF₂ $T_N = 66.4\text{ K}$
(T_{Neel})

126088e Depolarization of neutrons in manganese(II) fluoride. Gordeev, G. P.; Drabkin, G. M.; Lazebnik, I. M.; Aksel'rod, A. A.; Toperverg, B. P. (Inst. Yad. Fiz. im. Konstantinova, Leningrad, USSR). *Pis'ma Zh. Eksp. Teor. Fiz.* 1974, 19(4), 220-2 (Russ). Single-crystal and coarse-grained polycryst. MnF₂ were investigated on a crystal spectrometer with polarized neutrons of the wavelength $\lambda = 2 \text{ \AA}$ at temps. from 4.2°K to the vicinity of the Neel temp. $T_N \approx 66.4 \text{ ^\circ K}$. The magnetic field near the sample was 0.6 Oe. The precision of the orientation of the C axis of the single crystals with respect to the neutron polarization vector P was $\pm 15^\circ$ for $C \parallel P$ and $\pm 5^\circ$ for $C \perp P$. In single-crystal and polycryst. MnF₂ depolarization of the neutrons is obsd. in the entire temp. range investigated and is independent of the orientation of the crystals. Its value depends on the thickness of the sample. The presence of domains with nonuniform magnetization of a ferromagnetic type is suggested. For a polycryst. sample 18 mm thick the depolarization is 0.8-1% at T_N and 5% at 4.2°K.

A. Bergstein

C.H.1974.80 v22

X 8351

1974

Li_2TiF_2

Hirakawa K.

J. Crystallogr. Soc. Jap.

1973, 15, N1, 103-104 (en)

(химич. анал. в фазовом
рентгено)

P. 2E & 3E 558

MnF_2 Utyagina Z. M. 1974
Kachan M. F. et. al.
Dokl. Akad. Nauk SSSR 1974
216(5), 1066-9 [(Chem)] (Russ).
(Tz) Fluorite and fluoritelike modifications in phase diagrams of manganese (II) fluoride, zinc fluoride, and cobalt (II)

C.A. 1974. 81. N14. 83115n

1974

Литература Л. М. и др.

23 Б900. Флюоритовые и флюоритоподобные модификации на фазовых диаграммах MnF_2 , ZnF_2 и CoF_2 . «Докл. АН СССР», 1974, 216, № 5, 1066—1059

Методом высокот-рной рентгеновской дифрактометрии изучены фазовые переходы в MnF_2 , ZnF_2 , CoF_2 и NiF_2 при высоких давл. (до 100 кбар) и т-рном интервале 25—800° для MnF_2 и 20—300° для ZnF_2 , CoF_2 и NiF_2 . При т-ре выше 220° и давл. выше 30 кбар рутильная модификация MnF_2 -I переходит во флюоритовую модификацию MnF_2 -V с параметром элементарной ячейки $a=5,345$ Å. Изменения объема и энтропии при переходе I→V составляют ~6,7% и 2,4—2,5 э. е. соотв. Фазовая граница рутил—флюорит представляет собой прямую линию с наклоном $dp/dT = -62$ бар/град. Полиморфный переход 1-го рода рутил—флюорит у ZnF_2 и CoF_2 происходит в интервале т-р 300—400 и 300—350° соотв., а изменения объема при этом фазовом п-

 MnF_2
 $P_{tr} \cdot T_{tr}$
 $(25-800^{\circ}\text{C})$

x. 1974 N 23

+3

17

реходе составляет $\sim 7\%$. Флюоритная фаза ZnF_2 и CoF_2 устойчива при охлаждении до коми. т-ры и остаточном давл. 70 кбар. При снижении давл. до атмосферного у MnF_2 и ZnF_2 образуется фаза типа α - PbO_2 в смеси с исходной рутильной модификацией, а у CoF_2 образование фазы типа α - PbO_2 не наблюдается. В NiF_2 в интервале т-р до 300° и давл. ~ 100 бар флюоритная фаза не обнаружена. При дальнейшем повышении давл. у MnF_2 и ZnF_2 наблюдается переход флюорит — иска жетый флюорит, к-рый проходит без скачкообразного изменения объема и может быть отнесен к переходам второго рода. Уточнена область существования флюоритной модификации на фазовых диаграммах MnF_2 , ZnF_2 и CoF_2 .

А. В. Салов

MnF₂

1975

(T_{Neel})

84: 68714a Birefringence of light in antiferromagnets near the Neel temperature. Peisakhovich, Yu. G. (Inst. Neorg. Khim., Novosibirsk, USSR). *Pis'ma Zh. Eksp. Teor. Fiz.* 1975, 22(10), 506-10 (Russ). Concerning the direct spin-electron interaction, a quantum chem. calcn. of magnetic contribution to the refractive index $\Delta n_{M^{\text{M}y}}$ was made for 2-sublattice antiferromagnets with 2 magnetic ions in the elementary crystal cell (e.g. MnF₂, CoF₂, FeF₂, and NiF₂). The calcd. temp. dependence of $\Delta n_{M^{\text{M}y}}$ exhibited a break in the region near the Neel temp. T_N and corresponded well with values exptl. found for MnF₂ (T_N = 66.5°K; A. S. Borovik-Romanov 1973).

J. Stehlíček



④3



C.A. 1976. 84 n10

MnF₂

З Б789. Магнитострикция и двухспиновая корреляционная функция в MnF₂. Shapira Y., Yacovitch R. D., Nelson D. R. Magnetostriiction and the two-spin correlation function in MnF₂. «Solid State Commun», 1975, 17, № 2, 175—178 (англ.)

В магнитных полях $H \leq 130$ кэрстед при т-ре $64 < T < 300$ ($^{\circ}$ К) изучена изотермич. продольная магнитострикция (МС) одноосного антиферромагнетика MnF₂ ($T_N = 67,3$ $^{\circ}$ К) с анизотропией типа «легкая ось». Измерения МС проведены в направлении [001] емкостным методом. Установлено, что для всех случаев в слабых магнитных полях величина МС пропорциональна H^2 . В области сильных полей эта зависимость сохраняется только для парамагнитной фазы. Эксперим. данные интерпретированы с помощью модели, согласно к-рой МС обусловлена зависимостью константы изотропного обменного взаимодействия между ближайшими магнитными атомами от межатомных расстояний в решетке. Методом двухспиновых корреляц. функций в рамках указанной модели построены теор. магнитострикц. кривые. Показано, что они удовлетворительно согласуются с экспериментом.

Ю. В. Ракитин

(T_N)

К/К-ист
на месте

X 1978 № 3

1975

XIII

165

1978

B9

MnF₂

X-15672

1976

5 E351. Теплоемкость и энтропия MnF₂ в области температур от 10 до 300° К. Вычисление вкладов, связанных с магнитным упорядочением. Boo W. O. J., Stout J. W. Heat capacity and entropy of MnF₂ from 10 to 300° K. Evaluation of the contributions associated with magnetic ordering. «J. Chem. Phys.», 1976, 65, № 10, 3929—3934 (англ.)

Boo

Cp, dS

Обсуждаются измерения теплоемкости в области т-р 10÷300° К. Подробно протабулированы теплоемкость, энтропия, энтальпия, и потенциал Гиббса в этой области т-р. Выделены магн. части теплоемкости и энтропии. На температурной зависимости теплоемкости при т-ре 67,3° К наблюдается аномалия, связанная с антиферромагн. упорядочением. При т-рах 57÷67,2° К кривая зависимости $C_{\text{магн}}(T)$ имеет логарифмич. ход, а при т-рах 67,2÷67,3 лежит несколько ниже указанной кривой. Выше т-ры перехода зависимость $C_{\text{магн}}$ от $|T-T_m|$ имеет положит. кривизну. А. С. Андреенко

ф. 1977 № 5

БД - ХХХ - 24057

MnF₂

745-16672

1976

11 Б593. Теплоемкость и энтропия MnF₂ в области температур 10—300 К. Оценка вкладов, связанных с магнитным упорядочением. Boo W. O. J., Stout J. W. Heat capacity and entropy of MnF₂ from 10 to 300° K. Evaluation of the contributions associated with magnetic ordering. «J. Chem. Phys.», 1976, 65, № 10, 3929—3934 (англ.)

Измерена теплоемкость образца MnF₂, содержащего кристаллы размером более 2 мм, в области т-р 10—300 К. Максимум теплоемкости $C_p = 13,1$ кал/К·моль, связанный с антиферромагнитным упорядочением, наблюдался при 67,30 К. Магнитные вклады в теплоемкость и энтропию табулированы между 10 и 100 К. Сглаженные значения теплоемкости, энтропии, энтальпии и энергии Гиббса табулированы между 10 и 300 К. При 298,15 К $C_p^{\circ} = 15,96$ кал/К·моль, $S^{\circ} = 22,04$ э. с., $H^{\circ} - H_0^{\circ} = 3106$ кал/моль, и $-(G^{\circ} - H_0^{\circ})/T = 11,625$ кал/К·моль.

В. Н. Проселков

$C_p = 4,5$

$\Delta H, \Delta F$

X. 1977. N 11

B.C.C. — XVIII — 24/05

* U - 16672

1976

MnF₂

86: 61355s Heat capacity and entropy of manganese(II) fluoride from 10 to 300°K. Evaluation of the contributions associated with magnetic ordering. Boo, W. O. J.; Stout, J.

W. (James Franck Inst., Univ. Chicago, Chicago, Ill.). *J. Chem. Phys.* 1976, 65(10), 3929-34 (Eng). The heat capacity of MnF₂ [11113-71-6] consisting of crystals larger than 2 mm was measured between 10 and 300 K. The peak in heat capacity assocd. with the antiferromagnetic ordering is at 67.30 K. Measurements with small temp. rise show the shape of the heat capacity curve near the anomaly. The corresponding states approxn. for evaluating the lattice heat capacity was tested in regions where the magnetic contributions are calculable. Magnetic contributions to the heat capacity and entropy are tabulated between 10 and 100 K. Smooth values of the total heat capacity, entropy, enthalpy, and Gibbs energy are tabulated between 10 and 300 K. Values at 298.15 K are C°_p = 15.96 cal K⁻¹mol⁻¹, S° = 22.04 cal K⁻¹mol⁻¹, H° - H°₀ = 3106 cal mole⁻¹.

(C°_p, S°, H-H°₀)

Beta - VIII - 1405

C.A. 1977 86 N10

MnF₂

1976

У 3 Б884. Фазовые границы вблизи двойной критической точки MnF₂. Shariga Y., Vesegga C. S. Phase boundaries near the bicritical point of MnF₂. «Phys. Lett.», 1976, A57, № 5, 483—484 (англ.)

фазов.
Франция

Исследовали фазовые границы в одноосном антиферромагнетике MnF₂ вблизи двойной крит. точки $T_b = 64,74 \pm 0,01$ К и $H_b = 118,45 \pm 0,4$ эв, где существуют три фазы: парамагнетик, антиферромагнетик и спин-флоп. Измерения проведены с высокой точностью с помощью УЗ-метода.

В. Чернышов

X. 1977. № 3

1976

MnF₂ (SHF, S)

Хорохонова Н.Н.
(автореферат диссертации)

МГУ.

MnF₂

1976

185: 153016q Phase boundaries near the bicritical point of manganese disfluoride. Shapira, Y.; Becerra, C. C. (Francis Bitter Natl. Magnet Lab., Massachusetts Inst. Technol., Cambridge, Mass.). *Phys. Lett. A* 1976, 57A(5), 483-4 (Eng). Phase boundaries near the bicrit. point ($T_b = 64.74 \pm 0.01^\circ\text{K}$, $H_b = 118.45 \pm 0.4\text{ kOe}$) of the uniaxial antiferromagnetic MnF₂ were redetd. by using ultrasonic attenuation measurements. The more precise results were compared to those of M. Fisher (1975).

(T_b)

Metboil?

C.A. 1976. 85 N20

Mg Fe

1977

Burylov B.P.

(P) Zh. Fiz. Khim. 1977,
51(7), 1765-8 (Russ)



(cell. Mg Fe : T)

MnF₂

1977

KMnF₃

2 Е320. Температурная зависимость параметров решетки MnF_2 и KMnF_3 от комнатной температуры до точки плавления. Догманн Е., Сопли Дж. Р. Д., Джессагино В. Temperature dependence of the MnF_2 and KMnF_3 lattice parameters from room temperature to the melting point. «J. Phys. C; Solid State Phys.», 1977, 10, № 15, 2767—2771 (англ.)

Приведены результаты измерения параметров решетки (ПР) MnF_2 и KMnF_3 от 21°С до т. пл. Измерения проведены на порошковых образцах методом рассеяния нейтронов. Для KMnF_3 дана аппроксимация полиномами температурной зависимости ПР и коэф. линейного расширения.

Н. М. Олехнович

(+1)



Ф, 1978, № 2

4 Б399. Температурная зависимость параметров решеток MnF_2 и KMnF_3 от комнатной температуры до температуры плавления. D o r m a n n E., C o p l e y J. R. D., J a c c a r i n o V. Temperature dependence of the MnF_2 and KMnF_3 lattice parameters from room temperature to the melting point. «J. Phys. C; Solid State Phys.», 1977, 10, № 15, 2767—2771 (англ.)

Проведено нейтронографич. исследование (метод порошка, $\lambda = 1,5085 \text{ \AA}$) характера термич. расширения решеток соединений MnF_2 (I) и KMnF_3 (II) в интервале т-р от комн. т-ры до т. пл. (855° для I и 1002° для II). Параметры тетрагонал. решетки I (ф. гр. $P4_2/mnm$) изменяется в пределах: $21^\circ a = 4,8750, c = 3,3184 \text{ \AA}; 855^\circ a = 4,8955, c = 3,3814$. Параметр a кубич. решетки II (ф. гр. $Pm\bar{3}m$) изменяется в пределах: $21^\circ a = 4,1901, 1002^\circ a = 4,2725 \text{ \AA}$, почти линейно возрастаая в соответствии с регрессионным ур-ием: $a = 4,1711 (1 + 1,43 \cdot 10^{-5} T + 3,7 \cdot 10^{-9} T^2)$; коэф. линейного расширения $\alpha = 14,3 (1 + 5,2 \cdot 10^{-4} T) \cdot 10^{-6}$ (в обоих случаях T в $^\circ\text{К}$). Ход линейного расширения параметра c (II), в то время как зависимость a (I) от т-ры обнаруживает явное отклонение от линейности. Данные по тепловому расширению решеток магнитных соединений могут быть привлечены для интерпретации характера изменения магнитных св-в в зависимости от температуры.

С. В. Соболева

2. 1978/14



Часы измерений восприимчивости 1974

Mr F₂

24 Б817. О связи между температурной зависимостью магнитной восприимчивости и теплоемкостью антиферромагнетиков. Schöpgens Hans Wilhelm, Alexander Helmuth. Über den Zusammenhang zwischen der Temperaturabhängigkeit der magnetischen Suszeptibilität und der spezifischen Wärme bei Antiferromagneten. «Forschungsber. Landes Nordrhein-Westfalen», 1977, № 2627, 53 S., ill. (нем.)

(Ттч)

На основе термодинамич. рассмотрения показано, что величина магнитокалорич. эффекта (МКЭ) пропорциональна т-ре и т-рий зависимости магнитной восприимчивости и обратно пропорциональна теплоемкости. Для трех антиферромагнетиков — железо-марганцевых сплавов, окиси марганца MnO и фторида марганца MnF₂ измерены магнитная восприимчивость и МКЭ. Результаты измерений восприимчивости сравниены с имеющимися лит. данными. С использованием результатов из-

Х. 1974 № 24

мерений т-риой зависимости восприимчивости, эксперим. и лит. данных по теплоемкости на основе термодинамич. соотношений рассчитан МКЭ. Показано, что для железо-марганцевых сплавов ожидаемый эффект лежит гораздо ниже экспериментально найденных границ. Ход МКЭ в окиси марганца из-за фазового перехода антиферромагнетик — парамагнетик остался необъясненным. Для фторида марганца расчет хорошо согласуется с экспериментом. Кроме того, для MnF_2 дополнительно проверено термодинамич. соотношение, к-рое позволяет из калорич. и магнитных величин рассчитать зависимость т-ры перехода антиферромагнетик — парамагнетик от магнитного поля.

В. Ф. Байбуз

MnF_2

Bannister 7193

1978

Barak χ ; ~~et al.~~

$$(T_{cr}) =$$

 $= 66.5 \text{ K}$

χ . Jaccarino V., Rezende S.M.
J. Magnetism and Magnetic
Materials, 1978, 9, 323-32

1) Magnetic anisotropy MnF_2 1 μm OK

MnF₂

MnCl₂

$\Delta H^\circ; \Delta S^\circ$

(+)

1978
i) 17 Б1000. Взаимодействие расплавленной системы фторид марганца—хлорид марганца с кварцем. Бурылев Б. П., Лялина Т. Б., Миронов В. Л. «5-ый Всес. симпоз. по химии неорган. фторидов, Днепропетровск, 1978». М., 1978, 60

Методом точек кипения в изобарич. варианте измерены давл. насыщ. пара в системе MnF₂—MnCl₂ в интервале 1100—1450 К. Результаты описаны ур-ниями вида $\lg P(\text{мм}) = -A/T + B$, коэф. к-рых табулированы для 0, 20, 40, 50 и 100 мол. % Mn₂. Значения A и B составили соотв.: MnCl₂ 8343 ± 91 и $8,45 \pm 0,09$, 50% MnF₂ 6525 ± 514 и $6,86 \pm 0,15$, MnF₂ 14 600 и 9,34. Появление вместо ожидаемого отриц. отклонения от аддитивности значит. максимума на изотермах давл. пара объяснено образованием SiCl₄ и SiF₄ (I) при взаимодействии расплавов MnF₂—MnCl₂ с кварцем. Вследствие большей летучести I в полученных величинах давл. пара преобладает влияние р-ции $2\text{MnF}_2 + \text{SiO}_2 = 2\text{MnO} + \text{I}$ (1). Из т-рного хода константы этой р-ции в сплаве с 20 мол. % MnF₂, где получены наиболее надежные данные, для р-ции (1) определены $\Delta H^\circ = 36,65$ ккал/моль и $\Delta S^\circ = -25,55$ э. с.

А. Б. Кисилевский

MnF₂

Б9-XVII-Зв3
от. 20489

1978

II Е331. Экспериментальное наблюдение явлений пересечения в теплоемкости MnF₂. Ikeda Hironobu, Okamuro Noriko, Kato Kyoko, Ikushima Akira. Experimental observation of crossover phenomena in the specific heat of MnF₂. «J. Phys.», 1978, C11, № 7, L231—L235 (англ.)

Исследование λ-аномалии теплоемкости MnF₂ вблизи точки Нееля. Найдено, что магн. вклад теплоемкости в интервале $10^{-2} \leq |1-T/T_N| \leq 4 \cdot 10^{-1}$ имеет степенную расходимость с критич. показателями, совпадающими выше и ниже T_N и равными $\alpha = \alpha' = -0,103$, что хорошо согласуется с теорией, построенной на основе трех-

мерной модели Гейзенберга. При дальнейшем приближении к T_N , однако, наблюдается переход к зависимости, характерной для дипольной модели Изинга. В районе $|1-T/T_N| < 10^{-3}$ наблюдается асимметричное искажение ветвей теплоемкости и их быстрая сходимость, что связывается с наличием сильной магн. анизотропии.

В. Е. Зиновьев

(Cp)
 $T_N =$
= 67.41
(в тч 67.3 ± 0.1)
Ф. 1978, № 11

MnF₂

B9-XVII-3013
DM. 20488

1978

89: 136645j Experimental observation of crossover phenomena in the specific heat of manganese difluoride. Ikeda, Hironobu; Okamura, Noriko; Kato, Kyoko; Ikushima, Akira (Dep. Phys., Ochanomizu Univ., Tokyo, Japan). *J. Phys. C* 1978, 11(7), L231-L235 (Eng). The sp. heat of MnF₂ near its Neel temp. (T_N) was measured to a high precision. For temps. (T) such that $10^{-2} \leq |1-T/T_N| \leq 4 \times 10^{-1}$, the magnetic sp. heat obeys a power-law singularity with exponents characteristic of the 3-dimensional Heisenberg model, i.e. $\alpha = \alpha' = -0.103$. As T_N was approached, a crossover to dipolar-dominated Ising nature was obsd. Asym. behavior of the crit. divergence near T_N can be explained by the existing numerical values of the magnetic anisotropy.

C_p, T_N

CA, 1978, 89, N16

~~РБ~~ № 111 ЗС73

1973

MnF₂

20 Б808. Экспериментальное наблюдение переходных явлений в теплоемкости MnF₂. Ikeda Higobu, Okamiga Nogiko, Kato Kyoko, Kushima Akita. Experimental observation of crossover phenomena in the specific heat of MnF₂. «J. Phys.», 1978, C11, № 7, 2231—2235 (англ.)

(C_p)

Выполнены точные измерения теплоемкости MnF₂ в окрестности т-ры Нееля $T_N = 67,71 \pm 0,03$ К. Аналитич. обработка результатов для узкой области $|t| = |1 - T/T_N|$ проводилась по ур-нию $C_p = A(|t|^{-\alpha} - 1)/\alpha + B + Dt$ для $T > T_N$ и по аналогичному ур-нию со «штрих-коэф.» для $T < T_N$. Зависимость $\lg C_p$ от $|t|$ показала положит. кривизну в области $10^{-3} < |t| < 4 \cdot 10^{-3}$ и отриц. в области $10^{-2} < |t| < 4 \cdot 10^{-1}$ в случае $T > T_N$; для $T < T_N$ в последней области зависимость аналогична, а в области $10^{-3} < |t| < 10^{-2}$ зависимость линейна. Т. о. не вся эксперим. область подчиняется степенному закону. Для $10^{-2} < |t| < 4 \cdot 10^{-1}$ $\alpha = \alpha' = -0,103 \pm 0,03$, что отвечает поведению MnF₂ в этой области т-р как 3D-антиферромагнетика по Гейзенбергу. Асимм. поведение C_p в более широкой т-рной области свидетельствует о пе-

2.1973, № 20

переходе от трехмерной системы Гейзенберга в модель Изинга с преобладанием диполей. Существование такого перехода подтверждено анизотропией магн. св-в в окрестности T_N .

А. Б. Кисилевский

Петр,
дцт

Mn F₂

1978

Savchenko M.A., et al

(Tz)

Fiz. Met. Metalloved. 1978,
45(5), 926-34



all. NiF₂-I

MnF₂

Lönnqvist 8452 | 1979
BGP-XVII-3023

Nordblad P., et al,

T_N

measured.

boerupauer.

Phys. scr., 1979, 20,
105 - 108.

2 Б651. Критическое поведение магнитной восприимчивости MnF_2 в области точки Нееля. Nordblad P., Lundgren L., Figueiroa E., Gafvert U., Beckman O. Critical behaviour of the magnetic susceptibility of MnF_2 near the Néel point. «Phys. scr.», 1979, 20, № 1, 105—108 (англ.)

При т-рах 4,2—300° К в слабых полях (~ 1 мтесла) на магнетометре с датчиком, использующим эффект Джозефсона измерены главные значения статич. магнитной восприимчивости (χ_{\parallel} и χ_{\perp}) для ориентированных монокристаллов одноосного антиферромагнетика MnF_2 , в к-ром ионы Mn^{2+} образуют объемноцент. тетрагон. решетку. Измерения т-ры образца в интервале 20—300° К производились с помощью медного термометра сопротивления с точностью $\sim 10^{-4}$ ° К. Установлено, что выше $T_N = 67,248$ ° К χ_{\parallel} и χ_{\perp} хорошо описы-

T_N

$\chi_{\parallel} - \chi_{\perp}$

$$T_N = 67,248 \text{ K}$$

Х. 1980. № 2

ваются ур-нием Кюри-Вейсса. Ниже T_N χ_{\perp} проходит через широкий минимум ($\sim 46,5^\circ \text{K}$), а χ_{\parallel} монотонно убывает. Дифференциальная восприимчивость $\chi_{\parallel} - \chi_{\perp}$ в соответствии с предсказанием теории при 115°K проходит через максимум, а затем меняет знак при $77,5^\circ \text{K}$. На основе сопоставления результатов, полученных до χ_{\parallel} вблизи T_N и данных по магнитному вкладу в теплоемкость, показано, что в области $2 \cdot 10^{-4} < |T/T_N - 1| < 6 \cdot 10^{-2}$ для MnF_2 справедливо соотношение $C_m/R = K \partial(\chi_{\parallel} T) / \partial T$ (Fisher M. E., Phil. Mag., 1962, 7, 1731), где $K = 79$ — константа, почти независящая от т-ры. Для интервала $67,0 - 67,4^\circ \text{K}$ эмпирически найдено соотношение $\partial(\chi_{\perp} T) / \partial T = \xi \partial(\chi_{\parallel} T) / \partial T + \eta$, где $\xi = 0,07$, $\eta = 1,33 \cdot 10^{-2}$.

Б. М. Новоторцев

1979



9 Е858. Полиморфизм в MnF_2 (тип рутила) при высоких давлениях. Yagi Takehiko, Jamieson John C., Mooge Paul B. Polymorphism in MnF_2 (rutile type) at high pressures. «J. Geophys. Res.», 1979, B84, № 3, 1113—1115 (англ.)

Обнаружено, что при комнатной т-ре переход от рутила к II фазе MnF_2 происходит медленно и даже при давл. 35 кбар фаза рутила существует вместе со II фазой MnF_2 . Дифракционные линии от фазы рутила начинают исчезать при 200°C и давл. 25 ± 1 кбар. Полученные порошковые рентгенограммы MnF_2 (35 кбар и 200°C) индицируются в тетраг. сингонии с параметрами решетки $a = 5,122 \pm 0,002 \text{ \AA}$ и $c = 5,256 \pm 0,003 \text{ \AA}$, пр. гр. $P42m$. Плотность 4,478, что на 14% больше, чем у типа рутила.

И. Н.

поли-
морфизм

Ф. 1979, № 9

15.9

MnF₂

20 Б369. Полиморфизм MnF₂ (структурный тип рутила) в условиях высокого давления. Yagi Takehiko, Jamieson John C., Moore Paul B. Polymorphism in MnF₂ (rutile type) at high pressures. «J. Geophys. Res.», 1979, B84, № 3, 1113—1115 (англ.)

Фторид MnF₂, принадлежащий в обычных условиях к структурному типу рутила (фаза I) в условиях высокого давл. обнаруживает полиморфное разнообразие, проявляющееся в последовательном образовании ряда новых модификаций: II (искаженная структура типа флюорита), III (ромбич. структура типа $\alpha\text{-PbCl}_2$) и при снятии давл. реализуется фаза IV (ромбич. структура типа $\alpha\text{-PbO}_2$). Проведено рентгенографич. исследование (метод порошка, дифрактометр, камера высокого давл. λ Mo) характера перехода I→II и структуры II. При обычной т-ре этот переход протекает вяло и даже при давл. 35 кбар I лишь частично переходит в II. При 200° превращение осуществляется полностью уже при

переходе
из I.
Структуры

2.1979 № 10

25 кбар. Для II подтверждена искаженная структура типа флюорита; параметры тетрагональной решетки II: $a = 5,122$, $c = 5,256 \text{ \AA}$, ρ (изм.) $4,478$, $Z=4$, ф. гр. $P\bar{4}2m$. Плотность II на 14% выше, чем плотность I. Приведены значения I , $d(hkl)$ рентгенограммы порошка II; некоторые расхождения в значениях теор. и эксперим. интенсивностей заставляют предполагать возможность более низкой реальной симметрии I и больших искажений структуры, по сравнению с идеальной кубической структурой флюорита.

С. В. Соболева

1980

MnF₂

FeF₂

Fe₂P

(C₉; Hg)

(Hg) ⊗

x.1981.NII

У 11 ББ65. Магнитная анизотропия и магнитные фазовые переходы в соединениях железа и марганца.
Nordblad Rer. Magnetic anisotropy and magnetic phase transitions of iron and manganese compounds.
«Acta Univ. upsal. Abstrs Uppsala Diss. Fac. Sci.», 1980, № 556, 15 pp., ill. (англ.)

В широком интервале т-р исследованы статич. магнитная восприимчивость, намагниченность, уд. теплоемкость и тепловое расширение ряда соединений железа и марганца: ферромагнитных систем типа сплавов железа с кремнием, простых антиферромагнетиков типа MnF₂ и FeF₂, ферромагнетиков типа Fe₂P. Описаны методы приготовления образцов и эксперим. исследований. Определены точки перехода исследованных систем в магнитно-упорядоченное состояние. Исследована динамика систем вблизи крит. точки в парамагнитной и магнитно-упорядоченной областях и найдены значения крит. индексов.

Ю. В. Ракитин

MnF₂(k) Omreca 10049 1982

Deguxusa T.H. "pp.

(MgF₂; SF₆) Omrec MZY za 1979
um. dozor no SF₆, SF₆
NiF₂, FeF₂, MnF₂.

MnF_2

ZnF_2

CuF_2

(2 Hz)



②

CA 1980 92 N&A

Omnuck 10068

1980

Tom. 18505

92: 18661c High temperature polymorphism in rutile structure fluorides. Rimal, Donald S.; Ito, J.; Jamieson, J. C. (James Franck Inst., Univ. Chicago, Chicago, IL 60637 USA). *Mater. Res. Bull.* 1980, 15(4), 489-92 (Eng). The thermal properties of NiF_2 , ZnF_2 , MnF_2 , MgF_2 , and CuF_2 were investigated by DTA. Latent heats, indicative of structural phase transitions in MnF_2 , ZnF_2 , and CuF_2 , are obsd. The results are compared with those of earlier x-ray studies.

MnF₂

Lommel 12.243] 1981.
18 807 [18807
AICUTSU N., et al.

(Cp; Tz) J. Phys. Soc. Jap., 1981,
50, (9), 2865 - 41.
Amesca

(cex. CoF₂; I)

Технология CoF_2 , MnF_2 и KMnF_3

лекции 15

MnF₂ [12243] [Pm. 12807] 1981

Akutsu N., Ikeda H.,

J. Phys. Soc. Jpn. 1981,
50, N9, 2865-71.

cp

MnF₂

1981

фаза высокого давления

7 E633. Закаленная фаза высокого давления MnF₂ в малых частицах, полученных путем испарения. Quenched high pressure phase of MnF₂ in the gas-evaporated fine particles. Ichihashi Toshinari, Kato Manabu, Wada Nobuhiko. «J. Phys. Soc. Jap.», 1981, 50, № 11, 3539—3540 (англ.)

Рентгенографические исследования показали, что путем лазерного испарения MnF₂ в атмосферу He или Ar образуется фаза высокого давления (MnF₂—IV, орторомбическая, типа α -PbO₃). Отношение содержания таких частиц к числу норм. частиц со структурой типа рутила зависит от окружающей среды и увеличивается с ростом давления окружающего газа (3—500 мм рт. ст.).

E. С. Алексеев

9. 1982, 18, N7.

1981

MnF₂

2 Б1033. Измерения энергетической дисперсии дифракции рентгеновских лучей, с применением излучения синхротрона, при одновременном наложении высоких давлений и температур: предварительные результаты по $P(T)$ калибровке и фазовые переходы в MnF₂ и FeF₂. Energy dispersive X-ray diffraction measurements at simultaneously high pressure and temperature using synchrotron radiation: preliminary data on P(T) calibration and phase transformations in MnF₂ and FeF₂. Manghnani M. H., Skelton E. F., Ming L. C., Jamieson J. C., Qadri S., Schiferl D., Balogh J. «Phys. Solids High Pressure. Proc. Int. Symp., Bad Honnef, Aug. 10—14, 1981.» Amsterdam c. a., 1981, 47—55 (англ.)

Tz-i,
Мы высоких
давл.
(f-1)

В камере высокого давл. с алмазными наковальнями (3 различные модификации) с внешней печью электросопротивления сняты спектры распределения по энергии фотонов, возникающих вследствие рентгеновской дифракции и рентгеновской флюоресценции образца на

X. 1983, 19, № 2

фиксированием угла 2θ к потоку высокоинтенсивного белого синхротронного излучения. Спектры фиксировались Si(Li) твердотельным детектором с разрешением 149 ± 3 эВ. Время экспозиции 200 сек. Приводятся предв. результаты по наблюдению структурных фазовых переходов под давл. и коми. т-ре в MnF₂ и FeF₂. MnF₂ при давл. 1,3 ГПа переходит из структуры рутила в структуру PbO₂ и затем при 2,0 ГПа в тетрагон. структуру с уменьшением объема на 8%. В FeF₂ до 5,0 ГПа перехода не обнаружено. В диапазоне давл. до 10 ГПа и т-р до 250° сняты спектры внутреннего солевого стандарта NaCl и Au. Сдвиг линий сопоставлен со сдвигом флюоресцентной линии рубина, также используемой в кач-ве шкалы давл. В. А. Ступников

(c h i)

MnF₂

1981

1 E689. Измерения методом энергодисперсионной рентгеновской дифракции при высоких давлениях и температурах: предварительные данные по $P(T)$ -калибровке и фазовым превращениям в MnF_2 и FeF_2 . Energy dispersive X-ray diffraction measurements at simultaneously high pressure and temperature using synchrotron radiation: preliminary data on $P(T)$ calibration and phase transformations in MnF_2 and FeF_2 . Manganini M. H., Skelton E. F., Ming L. C., Jamieson J. C., Qadri S., Schiferl D., Balogh J. «Phys. Solids High Pressure. Proc. Int. Symp., Bad Honnef, Aug. 10—14, 1981». Amsterdam c. a., 1981, 47—55 (англ.)

С помощью энергодисперсионной рентгеновской дифракции разработана методика калибровки камер высокого давления при повышенных т-рах. Использованы ячейки с алмазными наковальнями трех типов: Бассет-

(#)

φ. 1983, 18, N /

та, Мао—Белла и Сенга. Образцы освещались белым синхротронным излучением высокой яркости, что позволяло резко сократить время измерений. Выполнены эксперименты по отработке нового внутреннего стандарта давления Au. Образец Au вводился в ячейку одновременно с известными референтными материалами в области высоких давлений NaCl и рубином. Получены сравнительные градуировочные данные для всех трех в-в при давл. до 10 ГПа и т-рах до 250°С. Проведены также предварительные исследования фазовых превращений в кристаллах MnF₂ и FeF₂. Библ. 32.

А. И. Коломийцев

MnF_2

Communica 120641 1981.

~~Nordblad P.,~~ Lundgren L., Figueiroa E., Beckman O.

$(C_p; T_{cr})$ J. Magnet. and Magnetic Mater., 1981, 23,
20-100 K? 333-41

~~(T_{cr} vs. G)~~



K/K ect!

Zurück: Technikosz u. Method. Susceptibility

of MnF_2 u. $Mn_{0.48}Fe_{0.02}F_2$ bei T_N

„specific heat and magnetic
susceptibility of MnF_2 near T_N .“

MnF₂

1982

19 Б440. Кристаллическая структура фторида марганца (MnF_2): тестирование достоверности гипотетических дисперсий интенсивности при помощи χ^2 распределений. The crystal structure of manganese difluoride (MnF_2): reliability test of hypothetical intensity variances by means of χ^2 distributions. Alte da Veiga L. M., Andrade L. R., Gonschorek W. «Z. Kristallogr.», 1982, 160, № 3—4, 171—178 (англ.)

*Кристал-
структура*

В рамках программы определения электронной плотности в структурах типа рутила проведено прецизионное измерение структурных факторов MnF_2 (234 отражения до $\sin \theta/\lambda = 1,0 \text{ \AA}^{-1}$, Ag K α). Распределение $\chi^2 = (n-1)S^2/\sigma^2$, $\sigma^2 = V\sigma_p^2$ наилучшим образом согласуется с теор. χ^2 распределением в случае умножения всех дисперсий Пуассона на $v=1,013$. Симметрически эквивалентные интенсивности отбрасывались в случае несогласия с теор. χ^2 -тесту. Уточнение по всему измеренному

X. 1983, 19, N 19

массиву отражений привело к критерию кач-ва модели, $S=1,7$ и $R=0,007$, $R=0,019$. Включение в уточнение параметров ангармонич. теплового движения 3-го и 4-го порядка не вызвало значимых изменений в результатах, в то время как отсечка отражений с $\sin \theta/\lambda < 0,7 \text{ \AA}^{-1}$ понизила S до величины 1,059. Позиц. параметр F $x=0,3050$ (параметры решетки MnF_2 : a 4,8734, c 3,3099 \AA). Т. Л. Хоцянова



MnF_2

Омск 13572

1982

12 Б739. Система MnF_2-ZnF_2 . Петров С. В.,
Орехов Ю. Ф. «Ж. неорган. химии», 1982, 27, № 3,
750—753

В системе MnF_2-ZnF_2 методами РФА и ДТА обнаружен непрерывный ряд тв. р-ров с минимумом т. пл. $\sim 890^\circ C$ при ~ 50 мол.% MnF_2 . Т. пл. чистых компонентов системы: MnF_2 $904 \pm 10^\circ C$, ZnF_2 $920 \pm 10^\circ C$. Выращены монокристаллы тв. р-ров во всем диапазоне концентраций.

Резюме

$$T_m = 904 \pm 10^\circ C$$

$$2.73$$

$$1177 K$$

(в ИБТ начисто 1173 K)

X. 1982, 19, N 12.

MnF_2

OTRUCU 13572

1982

| 96: 149975m Manganese(II) fluoride-zinc fluoride system.
Petrov, S. V.; Orekhov, Yu. F. (USSR). Zh. Neorg. Khim.
1982, 27(3), 750-3 (Russ). DTA and x-ray phase anal. showed
formation of continuous solid solns. with min. m.p. $\sim 890^\circ$ at
 ~ 50 mol.% MnF_2 . The end components m. $904 \pm 10^\circ$ (MnF_2)
and $920 \pm 10^\circ$ (ZnF_2). Single crystals of solid solns. can be
grown over the entire compn. range.

$$T_m = 1172\text{ K}$$

☒

⑦ $ZnF_2(T_m)$

C.A.1982, 96, N18.

MnF₂

1982

8 E470. Теоретическое изучение последовательности индуцированных давлением фазовых переходов в MnF₂. Theoretical study on the pressure induced phase transition sequence of MnF₂. Smolander K. J. «Phys. scr.», 1982, 25, № 2, 425—434 (англ.)

*фазов.
переход.*

Структуры фаз высокого давления MnF₂ изучены теоретически, в связи с недостаточностью эксперим. данных. При расчете полной энергии системы учитывались электростатич. составляющая, вклад ионной поляризации и отталкивание сердцевин ионов. Три модельных параметра гамильтониана определялись по опытным данным для структуры типа рутила, отвечающей норм. условиям. Эти параметры считались не зависящими от давления. Отмечается, что хотя поляризационная энергия дает относительно малый вклад в полную энергию, ее учет важен при определении равновесных параметров искаженных структур. Расчет энергий различных

cb. 1982, 18, N8.

искаженных структур типа флюорита показал, что стабильной является только структура с орторомбич. искажением типа А ба 2. Этот вывод противоречит заключениям авторов дифракционных экспериментов. Вместе с тем отмечается, что расчет приводит к правильной последовательности структур, возникающих под давлением, их параметров решетки и объемных эффектов превращений. Библ. 32.

А. Б.



MnF₂

1982

16 Б743. Теоретическое изучение индуцированных давлением последовательных фазовых переходов в MnF₂. Smolander K. J. Theoretical study on the pressure induced phase transition sequence of MnF₂. «Phys. scr.», 1982, 25, № 2, 425—434 (англ.)

На основе теории Борна — Майера, с учетом энергии поляризации и параметров отталкивания в ур-ии для вычисления когезионной энергии, разработана теор. модель превращений в MnF₂, испытывающего при возрастиании давл. при комн. т-ре следующие фазовые переходы: из фазы рутила в фазу α -PbO₂ при 15—17 кбар, затем при 25—30 кбар в фазу искаженного флюорита и затем при 150 кбар в фазу типа PbCl₂. Найдено, что в диапазоне 25—150 кбар стабильна только фаза с ромбич. искажением пространственного типа *Aba2*. Получено хорошее совпадение теор. и эксперим. данных по объемам элементарных ячеек, зависимостям энергии Гиббса от давл. и постоянным решетки для всех фаз. Определены также положения атомов для всех 4 структур.

Б. А. Ступников

*T₂;
при высоких
давл.*

X. 1982, 19, N 16.

MnF_2

1983

Ho Lawrence T., Dan-
dekar D. P., et al.

C_p ,
 G_D ,
 σ_{Szop}

Phys. Rev. B: Condens.
Matter 1983, 27 (6),
3881-3.

(crys. SrF_2 ; I)

МиF₂(17) [Ом. 22.302] 1985

Бершад Г.А., Гуревич Л.В.,

Әфриев М.Ә, Әорсекова А.Г.

Т.Ф.2

Персидин.

л.гр.

СВ-82

ВИНИТИ №ен. N 8845-585,
Москва, 1985.

Персидин ион. свойства
и маркапса и его соединения

II.k

МнF₂(X, au) Онн. 22302 1985

МнF₂(P) Бергшам Г. А., Гурвич Л. В.,
Ефремов М. Е., Ефремова Н. Г.
УФР.

переводчик. ВИНИТИ Реп. N 8845-585,
св-ва Москва, 1985.

Переводчик и свойства
стекла  и его соединений.

MnF₂

Om 22415

1985

5 Б3034. Электрохимическое определение термодинамических свойств MnF₂ и CoF₂. Electrochemical determination of thermodynamic properties of MnF₂ and CoF₂. Schaefer Seth C. «Rept. Invest. Bur. Mines. US Dep. Inter.», 1985, № 8973, 8 pp., ill. (англ.)

Методом э. д. с. с тв. F⁻-ионным электролитом CaF₂ (ТЭ) определены термодинамич. св-ва MnF₂ (I) и CoF₂ (II). Получены ΔG (обр., I) = $(-203\ 008 + 30,96 T) \pm \pm 560$ кал/моль и ΔG (обр., II) = $(-156\ 090 + 32,13 T) \pm \pm 420$ кал/моль, рекомендованы ΔH (обр., 298 К, ккал/моль) = $-204,633 \pm 560$ для I и $-161,160 \pm 420$ для II. Результаты несколько отличаются от лит., равных $-205,4$ и $-160,2$ ккал/моль соответственно. Л. А. Р.

ΔG_f, ΔH_f

41

X. 1986, 19, N5



у Рыжкова

MnF₂

On. 22415 1985

103: 93889e Electrochemical determination of thermodynamic properties of manganese difluoride and cobalt difluoride. Schaefer, Seth C. (Bur. Mines, U. S. Dep. Interior, USA). *Rep. Invest. - U. S., Bur. Mines* 1985, RI 8973, 12 pp. (Eng). Emf. measurements were used in the detn. of the free energies of formation of MnF₂ and CoF₂. The heats of formation were also derived and are $-204,633 \pm 560$ and $-161,166 \pm 420$ cal/mol, resp.

103: 93890y Isoperibolic calorimeter with an "on-line" computer. Velich, Vratislav; Dittrich, Frantisek; Timar, Julius; Kraus, Zbynek (Vys. Sk. Chem.-Technol., 532 10 Pardubice, Czech.). *Chem. Listy* 1985, 79(6), 661-72, 1 plate (Czech). A twin isoperibolic calorimeter is described with an on-line personal computer for automatic collection and fitting of calorimetric data in the direct injection enthalpimetry. Thermistor sensors were connected into a Wheatstone bridge with a digital V-meter and through interfaces to the computer. The app. was used to det. rate const. and heat of reaction of diazotized 4-O₂NC₆H₄NH₂ with PhN(Et)CH₂CH₂CN.

J. Stehlicek

c. A. 1985, 103, x 12

④ 18

CoF₂
K/K y Purnoda!!!

MnF₂

1986

106: 93934c Stability of MF₂ and MM'F₄-type fluorides under high pressure. Demortain, Genevieve; Tressaud, Alain; Demazeau, Gerard (Lab. Chim. Solide, Univ. Bordeaux-I, 33405 Talence, Fr.). C. R. Acad. Sci., Ser. 2 1986, 303(16), 1429-32 (Fr). The phase transitions were studied of MnF₂, BaMnF₄, LiYF₄, LiGdF₄, KBrF₄, and PdF₂ at high pressures. The magnetic properties are described for MnF₂. The phases which are stable at high pressure are those where the cation coordination no. remains high.

pass. repre
XOGK new & correct data.

(45) 187

C.A. 1987, 106, N 12

MnF_2

1987

Jacob K.T., Hajra J.P.

Bull. Mater. Sci. 1987,

$A_f G$,

9 (1), 37-46.

$A_f H$;

( CoF_2 ; $\frac{1}{2}$)

$MnF_2(k)$ 1988

Azad A. M.,

Sreedharan O.M.

$\Delta_f G,$
 $\Delta_f H;$

Trans. SAEST 1988,
23(1), 45-50.

(see: $CrF_2(k); -\bar{1}$)

MnF₂

1988

| 16 Б2010. Точность монокристального энергодисперсионного нейtronографического эксперимента: сравнительное исследование MnF₂. Accuracy of single-crystal time-of-flight neutron diffraction: a comparative study of MnF₂ / Jauch W., Schultz A. J., Schneider J. R. // J. Appl. Crystallogr. — 1988. — 21, № 6. — С. 975—979.— Англ.

Проведено нейtronографич. (*H*) и γ -дифракц. (*ГД*) исследование (метод Лауэ, энергодисперсионная регистрация, счетчик на основе стекла с ⁶Li, разрешение $\Delta\lambda/\lambda$ 0,015, анизотропный МНК по 340—309 отражениям до R_w 0,067—0,059 и λ 0,0392 Å (для γ -лучей), МНК по 294 отражениям до R_w 0,021—0,022) кристалла MnF₂ (I) при коми. т-ре и 15 и 11 К с целью сопоставления точности определения координат и эллипсоидов тепловых колебаний атомов (*ЭТК*) методами монокрист. энергодисперсионной *H*, *ГД* и РСТА. Кристаллы I тетрагон., *a* 4,8736, *c* 3,3101 Å (при коми. т-ре), ф. гр. *P4₂/mnm*. В процессе эксперимента отсня-

структура

X.1989, N16

та полусфера отражений от I, описаны особенности уточнения структуры и введение поправок, опробованы 6 моделей учета экстинкции. Введение поправок на экстинкцию значительно улучшает R -фактор. Позиц. параметр x атома F в I, определенный H и методом ГД идентичны при комн. т-ре, но различаются при низкой т-ре, что объясено несовпадением центров распределения электронного заряда и ядра в антиферромагн. состоянии I. Достигнуто хорошее соответствие значений ЭТК, полученных H и ГД при низкой т-ре, при комн. т-ре величины ЭТК меньше в методе H , чем в ГД. Это обусловлено эффектом теплового диффузного рассеяния, искажающего интенсивность отраженных нейтронов.

С. С. Мешалкин



~~МДС~~

1988

Болтавина О. В.,
Борисовский А. Я. и др.

Строение и свойства
поликристаллов. Иваново, 1988. С.

~~80,~~
~~44;~~

135-146.

$D_0^0(\mu_m F_2 - 1) =$
298±23

(Cs_2ScF_3 ; I)

$MnF_2 \cdot 4H_2O$

MnF_2

1989

4 Б3029 ДЕП. Калориметрическое изучение взаимодействия карбоната марганца с фтороводородной кислотой / Курбанов А. Р., Абдукадырова С. А., Токбаева К. А.; Тадж. политехн. ин-т.— Душанбе, 1989.— 4 с.— Библиогр.: 5 назв.— Рус.— Деп. в Тадж-НИИНТИ 27.06.89, № 32-Ta89

Рассмотрены рез-таты калориметрич. изучения р-ции карбоната марганца с фтороводородной к-той 30%-ной конц-ии. Получена энталпия р-ции, рассчитана энталпия образования тетрагидрата фторида марганца. По определению энталпии р-ции обезвоженного дифторида марганца с 30%-ным р-ром фтороводородной к-ты, получена энталпия образования дифторида марганца.

Автореферат

Х. 1990, № 4

MnF_2

1989

Pouzziroy G., Poix P.

J. Fluor. Chem. 1989,
42, N^o. C. 257-263.

(See \bullet FeF_2 ; I)

MnF₂

1990

18 Б2025. Монокристальное нейтронографическое исследование MnF₂ в зависимости от температуры: влияние магнетострикции. Single-crystal neutron diffraction studies of MnF₂ as a function of temperature: the effect of magnetostriiction / Jauch W., McIntyre G. J., Schultz A. J. // Acta Crystallogr. B.— 1990.— 46, № 6.— С. 739—742.— Англ.

Нейтронографически изучена (λ 0,5506 Å и энергидисперсионная регистрация, анизотропный МНК в ангармонич. приближении до R 0,024—0,051) структура монокристалла MnF₂ (I, СТ рутила) при т-рах 295, 60 и 15 К. Кристаллы \perp тетрагон., a 4,8736, c 3,3102 Å (295 К) и a 4,8736, c 3,3000 Å (15 К), ф. гр. $P4_2/mnm$. Обсуждены причины расхождения данных, полученных с использованием двух различных методов регистрации дифракц. картины. Оценен сдвиг Δx положения ядра атома F после перехода из парамагн. в антиферромагн. упорядоченное состояние. Значение Δx —2,7÷—2,9·10⁻⁴ отличается от определенного ранее методом дифракции γ-лучей Δx —4,8·10⁻⁴.

С. С. Мешалкин

Структура

X. 1991, N 18

MnF_2

1991

З Е838. Структурное превращение в ультрадисперсных частицах MnF_2 , обусловленное уменьшением размера частиц. Structural phase transition of ultrafine MnF_2 particles induced by size reduction / Bandow Shunji // Jap. J. Appl. Phys. Pt 1.— 1991.— 30, № 4.— С. 788—789.— Англ.

Метастабильная фаза MnF_2 (MnF_2 —IV; α - PbO_2 -типа) формируется при размере частиц < 10 нм. Содержание MnF_2 -IV-фазы возрастает по мере уменьшения размера частиц, и, данная фаза становится доминирующей при размере частиц 5 нм. При увеличении размера частиц до 14 нм доминирующей становится фаза MnF_2 -I (типа рутила).

(T_{d2})

д. 1992, № 3.

MnF₂

Он 37360 1991

10 Е637. К вопросу о полиморфизме дифторида марганца / Федоров П. П., Саттарова М. А., Ольховая Л. А., Матков А. П., Соболев Б. П., Икрами Д. Д. // Высокочист. вещества.— 1991.— № 3.— С. 191—195.— Рез. англ.

Методами ДТА и РФА построена фазовая диаграмма системы CdF₂—MnF₂. Твердый раствор Cd_{1-x}Mn_xF₂ ($x \leq 0,79$) флюоритовой структуры не доходит до MnF₂, что опровергает имеющиеся сообщения о существовании флюоритовой модификации MnF₂. Оценена т-ра метастабильного плавления при нормальном давлении виртуальной флюоритовой модификации: $870 \pm 10^\circ\text{C}$, что ниже т-ры плавления MnF₂ $930 \pm 5^\circ\text{C}$. Наиболее вероятная причина ошибочных сообщений — кислородное загрязнение MnF₂ в результате пирогидролиза. Библ. 22.

Резюме

(T_m, T_{z2})

ф. 1991, № 10

MgF₂ (kg, crushed) | OM 35840 |

1991

Mirao K., Yoshii S.,
Tanaka K., et al. Soga N.
(YH-T Kyoto)

P, D₂
(100 -
-350K) Jpn. J. Appl. Chem. and
Ind. Chem., 1991, N°, 1008 -
-1013.
Hirakawa more

Тензоресистор MnF_2 ^{изгот. в СИРК.И.} при $100-350K$
методом ДСК, пакетами θ_2 и θ_3
смешаны Al_2O_3 (φ_3).

Видимые соединения $C_1(\theta_1)$, $C_3(\theta_3)$ и C_E

$$C_V = C_1 + C_3 + C_E$$

МиF₂

DM · 36718

1992

Болтамина О.В., Борщевский А.Я.
и др.,

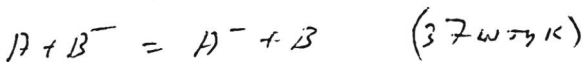
(Р, K_p, ΔH) дл. физ. хими, 1992, бб,
N9, лл289 - лл309

Термохимическое фторирование Зд - зеленого
и их определение  нанесено в
закисной фазе.

cm. Григор

Heterogenität:

Dimensionale Beziehung zw.



Masse: Menge von MnF_2 :

$$\text{Mn}^+ : \text{MnF}^+ : \text{MnF}_2^+ = 24 : 160 : 43$$

MnF₂

1992

2 E604. Ударный полиморфизм фторида марганца / Герман В. Н., Пэдурец А. М. // Свойства конденсир. веществ при высок. давлениях и температурах / М-во атом. энерг. и пром-сти. ЦНИИ упр., экон. и инф. — Б.м. , 1992 .— С. 289—292 .— Рус.

Перепечатка статьи из журнала Физика Земли .—1992, 8. Исследована ударная сжимаемость MnF₂ и рентгенографич. исследованы образцы, ударно сжатые до давлений 80—350 кбар в контейнерах из стали и Al при начальных т-рах 10 и —150 °С. На ударной адиабате обнаружен излом, соответствующий фазовому переходу при давлении ~100 кбар. В обжатых образцах обнаружены фазы с ромбич. структурой типа α—PbO₂ и PbCl₂. Сравниваются картины полиморфизма MnF₂ при динамическом и статич. сжатии.

(Tz)₁₉₉₂ 11785

об. 1993, № 2

1992

MnF₂

6 ES17. Исследование индуцированного давлением фазового перехода в MnF₂ методом бриллюэновского рассеяния. Brillouin scattering study of pressure-induced phase transition in MnF₂ / Yamaguchi Masashi, Yagi Toshiro, Hamaya Nozomu, Yagi Takehiko // J. Phys. Soc. Jap. — 1992 . — 61 , № 11 . — С. 3883—3886 . — Англ.

Исследование зависимости сдвига частоты в MnF₂ при бриллюэновском рассеянии от давления показало наличие скачка вблизи давления фазового перехода, равного 1,49 ГПа, при увеличении давления. Подтверждено, что переход является переходом первого рода, что следует из наличия гистерезиса в зависимости скорости звука от давления, помимо скачка скорости звука. Смягчения акустич. моды, связанной с мягкой оптич. модой B_{1g} , не наблюдалось (в противоположность результатам, полученным при расчете поведения SiO₂ методами молекуларной динамики). Представляется, что механизм фазового перехода несколько отличается от механизма перехода рутил — CaCl₂.

(T_{E2}) при
определенном давл.

(1,49 ГПа)

φ. 1993, N 6

1997

У.Н.

F: MnF₂

P: 1

Эксперимент! Jauch

ЗБ232. Ангармонизм в тепловом движении и
электростатических силах в ядре, полное
нейтронографическое исследование MnF₂.

Anharmonicity in thermal motion and electrostatic
forces on nuclei: pulsed neutron diffraction from
MnF₂ / Jauch W., Schultz A. J., Stewart R. F. //

ECM-17: 17th Eur. Crystallogr. Meet., Lisboa, 24-28
Aug., 1997: Programme and Book Abstr. - Lisboa,
1997. - С. 186. - Англ.

$MnF_2(k)$ (2)

1997

| 127: 351743y Determination of enthalpies of formation of man-
ganese di- and trifluorides. Nikitin, M. I.; Rakov, E. G.; Tsirel'nikov,
V. I.; Khaustov, S. V. (Mosk. Pedagog. Gos. Univ., Moscow, Russia). *Zh.
Neorg. Khim.* 1997, 42(7), 1154–1157 (Russ), MAIK Nauka. Temp.
dependencies of satd. vapor pressures of MnF_2 and MnF_3 , and equil.
consts. of the reaction $MnF_2(s) + UF_6(g) = MnF_3(s) + UF_5(g)$ were detd.
using the effusion method combined with mass-spectrometric anal. of
the gas phase. The sublimation enthalpies of MnF_2 and MnF_3 and the
reaction enthalpy were calcd. using the third law of thermodn. and were
found to be: 295.5 ± 0.3 ; 266.8 ± 0.4 and 33.9 ± 0.4 kJ/mol at 0 K. The
recommended values of formation enthalpies of $MnF_2(g)$, $MnF_3(g)$ and
 $MnF_3(c)$ at 0 K are -558.7 ± 5.0 , -784.5 ± 6.0 and -1048.8 ± 6.0 kJ/mol,
resp.

(ΔH_f)

$\Delta_f H$ $MnF_2(2)$

⑦ □

C.A. 1997, 127, N25

1) $MnF_3(k, 2)$ ($\Delta_3 H_f$)
 $MnF_3(2)$ ($\Delta_f H_f$)
eff

P: FeF₃, MnF₂
P: 3

1999

131:303587 Molecular structures, vibrational frequencies, and isotropic hyperfine coupling constants of FeF₃ and MnF₂: an ab initio molecular orbital study.

Scholz, G.; Stosser, R. Institute of Chemistry, Humboldt University of Berlin Berlin D-10115, Germany THEOCHEM, 488, 195-206 (English) 1999

New values for the equil. structures, harmonic vibrational frequencies, and, for the first time. isotropic ESR hyperfine coupling consts. Also of the mols. FeF₃ and MnF₂ were obtained. Use was made of unrestricted quantum chem. ab initio methods (UHF, UMP2, UB3LYP) in combination with several all-electron basis sets as well as pseudopotentials for iron and manganese. All properties mentioned show a strong dependence on the basis set and method applied. Whereas for FeF₃ UB3LYP calcns. using the (9s4p3d)/DZ basis set appear to be the best choice for the bond length and vibrational frequencies, all UHF and UMP2 calcns. yielded ESR hyperfine coupling const. in reasonable agreement with the exptl. values available. Based on the different phys. and chem. nature of trivalent iron and divalent manganese ions it turned out to be much more difficult to det. these properties for MnF₂ than for FeF₃.